

شماره ۱۲۶، بهار ۱۳۹۹

صص: ۱۵۷~۱۷۴

ارزیابی نوع طرح آمیزشی و ماتریس‌های مختلف خویشاوندی بر پیشرفت ژنتیکی و روند هم‌خونی در گوسفند

شیوه مفاخری

- دانشجوی دکتری ژنتیک و اصلاح نژاد دام، گروه علوم دامی، دانشگاه گیلان
- عبدالاحد شادپور (نویسنده مسئول)
- عضو هیأت علمی گروه علوم دامی، دانشگاه گیلان.
- نوید قوی حسینزاده
- عضو هیأت علمی گروه علوم دامی، دانشگاه گیلان
- دستم عبدالله آرپناهی
- عضو هیأت علمی گروه علوم دامی، دانشگاه تهران

تاریخ دریافت: بهمن ۱۳۹۷ تاریخ پذیرش: فروردین ۱۳۹۸

شماره تماس نویسنده مسئول: ۰۹۱۱۱۳۲۹۸۷۱

Email: shadparvar@yahoo.com

شناسه دیجیتال (DOI): 10.22092/asj.2019.125315.1878

چکیده

اطلاعات ژنومی دارای قابلیت بالقوه‌ای در بهبود ژنتیکی صفت همزمان با کنترل هم‌خونی فرزندان می‌باشد روش معمول برای کنترل سطح هم‌خونی مورد پیش‌بینی نتاج، استفاده از طرح‌های آمیزش از طریق ماتریس روابط خویشاوندی می‌باشد. در این مطالعه با هدف بهبود پیشرفت ژنتیکی و محدود کردن سطح هم‌خونی نتاج، جمعیتی با اندازه ثابت ۱۰۰۰ فرد و ۲۶ کروموزوم و در مجموع ۶۰۰۰۰ نشانگر و ۱۹۳۰ QTL با استفاده از نرم افزار QMSim به عنوان جمعیت پایه شبیه‌سازی شد و اندازه این جمعیت بعد از ۱۰۰۰ نسل به ۲۰۰۰ فرد بسط داده شد. از بسط جمعیت تاریخی به تعداد ۱۰ نسل، جمعیت ثانویه متشكل از ۵۰ نر و ۵۰ ماده ایجاد شده و صفتی با وراثت پذیری $\geq 3/4$ شبیه‌سازی گردید. هشت استراتژی شامل دو طرح آمیزشی (حداقل هم‌خونی و تصادفی) و چهار معیار محاسبه خویشاوندی (ماتریس‌های A، GRM، IBS و Weighted) برای ۱۰ نسل مورد ارزیابی قرار گرفتند. مقایسه استراتژی‌ها نشان داد، نوع طرح آمیزشی و معیارهای مختلف خویشاوندی در میزان رشد ژنتیکی، هم‌خونی و هموژیگوستی جمعیت تاثیر معنی‌داری داشتند ($p < 0.05$) و صحت ارزیابی‌ها تحت تاثیر نوع ماتریس خویشاوندی قرار گرفت. میانگین رشد ژنتیکی در استراتژی‌های با ماتریس وزن داده شده (G_{weighted})، طی ۱۰ نسل پایین‌تر از سایر ماتریس‌های خویشاوندی بود و نرخ هم‌خونی طرح آمیزش تصادفی در طی ۱۰ نسل روندی افزایشی داشت. به طور کلی می‌توان گفت که نوع ماتریس خویشاوندی مورد استفاده در بهبود رشد ژنتیکی و صحت ارزش‌های اصلاحی موثر است و ترکیب آن با طرح آمیزشی در برآورد ارزش‌های اصلاحی نقش مهمی در کنترل هم‌خونی دارد.

واژه‌های کلیدی: هم‌خونی، پیشرفت ژنتیکی، ماتریس خویشاوندی، طرح آمیزش

Animal Science Journal (Pajouhesh & Sazandegi) No 126 pp: 157-174

Evaluating the kind of mating design and different relationship matrices on genetic progress and inbreeding trend in sheep.

By: Shiva Mafakheri¹, Abdol Ahad Shadparvar^{*1}, Navid Ghavi Hossein-Zadeh¹, Rostam Abdollahi-Arpanahi²

¹Department of Animal Science, Faculty of Agricultural Sciences, University of Guilan, Rasht,Iran.

²Department of Animal and Poultry Science, University of Tehran, Pakdasht, Iran.

*Corresponding author: shadparvar@yahoo.com

Received: February 2019

Accepted: April 2019

Genomic information has potential capabilities in genetic improvement of the trait concurrent with controlling progeny's inbreeding. The common method of controlling the level of predictable inbreeding of progeny is to use mating designs through relationships matrix. In this study, a population in size of 1000 fixed individuals, 26 chromosomes and totally 60000 markers and 1930 QTL's were simulated as the base population with the use of QMSim software and the size of this population was extended to 20000 individuals after 1000 generations, with the aim of the genetic progress and restricting inbreeding level of the progeny. Expanding the historical population to the number of 10 generations, the secondary population was established consisting of 50 males and 500 females and a trait of 0.3 heritability was simulated. Eight strategies including two mating designs (minimum_inbreeding and random) and four criteria of computing relationships(Weighted, IBS, GRM and A matrices) for 10 generations were assessed. Comparing the strategies revealed that kind of mating designs and different criteria of relationships had a meaningful effect in genetic growth rate, inbreeding and homozygosity of the population ($p<0.05$) and The accuracy of evaluation was affected by the kind of relationships matrix. The average genetic gain in strategies with Gweight matrix were lower than other relationships matrices within 10 generations and inbreeding rate of random mating design was an increasing trend within 10 generations. On the whole, it can be said that the kind of relationship matrix used in genetic gain improvement and the accuracy of breeding values are effective and mixing it with mating design plays an important role in estimating breeding values in controlling the inbreeding.

Key words: inbreeding, genetic progress, relationship matrix, mating design

مقدمه

بر می گیرند و اغلب در عدم تعادل پیوستگی با QTL های مجاور خود هستند، ارزش ژنتیکی کل را پیشینی می کنند (Goddard, 2009; Meuwissen and Goddard, 2010). انتخاب ژنومی با استفاده از اطلاعات نشانگر های ژنتیکی متراکم، این قابلیت را دارد که نرخ رشد ژنتیکی را از حد آزمون نتایج بالاتر ببرد (Lillehammer و همکاران، 2011؛ Pryce و همکاران، 2010؛ Schaeffer و همکاران، 2006).

با وجودی که میزان پیشرفت در اصلاح نژاد با استفاده از انتخاب کلاسیک بسیار موقت آمیز بوده است (Albers و همکاران، 2002؛ Dekkers and Hospital, 2007؛ Hayes, 2007) ولی با استفاده از اطلاعات و تفاوت های موجود در سطح توالی DNA بین حیوانات، می توان ارزش های اصلاحی را با صحت بیشتری تخمین زد. انتخاب ژنومی¹ (GS) با استفاده از نقشه های نشانگری با تراکم زیاد، بخصوص SNP هایی که کل ژنوم را در

¹ Genomic Selection

لوکوسی(هموزیگوسمی هاپلوتیپ) در تشخیص رابطه خویشاوندی جمعیت می‌توان از این تفاوت‌ها و مزایای هر کدام از برآوردهای روابط خویشاوندی در محدود کردن همخونی در کننده‌های اصلاح نژادی استفاده کرد (Sonesson و همکاران، ۲۰۱۰).

اثر انتخاب ژنومی بر نرخ همخونی، با استفاده از سهم انتخاب Wray and Goddard، بهینه توسط Meuwissen (۱۹۹۷) و همکاران (۱۹۹۴) و Sonesson (۲۰۱۰) مورد بررسی قرار گرفته است. این پژوهشگران دریافتند، روابط خویشاوندی با استفاده از اطلاعات ژنومی و شجره‌ای هر دو در کنترل نرخ همخونی نتاج نقش مؤثری داشته‌اند. Goddard (۲۰۰۹) و Jannink (۲۰۱۰) پیش‌بینی کردند که انتخاب برای مدت زمان مناسب با تئیت Wray and Goddard، آلل‌های مطلوب همراه است (۱۹۹۴). در افق زمانی کوتاه مدت، اهمیت آلل‌های مطلوب کمیاب که در بهبود رشد ژنتیکی ضروری نیستند، افزایش می‌یابد و بنابراین رشد ژنتیکی کوتاه مدت می‌تواند افزایش یابد. روش وزن‌دهی جانینگ (JW) با افزودن پارامتر اضافی به منظور کاهش تاکید بر آلل‌های مطلوب نادر در یک دوره زمانی با هدف بهبود بیشتر رشد ژنتیکی بلندمدت توسط Liu و همکاران (۲۰۱۴) توسعه داده شد. در مقایسه با پیش‌بینی ژنومی غیر وزنی، وزن دهی جانینگ و وزن دهی دینامیک می‌توانند باعث افزایش رشد ژنتیکی بلند مدت و کاهش نرخ همخونی برای یک دوره زمانی بلند مدت (۴۰ نسل) شوند.

در مطالعه فرجی آروق و همکاران (۱۳۹۳) نتایج نشان داد که استفاده از آمیزش تصادفی با شدت انتخاب بالا و استفاده از انتقال جنین، تغییرات همخونی در جمعیت را نسبت به حالت آمیزش با حداقل همتباری و شدت انتخاب پایین بدون استفاده از انتقال جنین بالا می‌برد. استفاده از آمیزش با حداقل همتباری و

Goddard (۲۰۱۰). فاصله نسل در انتخاب ژنومی می‌تواند به مراتب کوتاه‌تر از فاصله نسل در آزمون نتاج باشد. اگرچه به دلیل برآوردهای صحیح تر نمونه‌گیری مندلی در انتخاب ژنومی (Daetwyler، ۲۰۰۷) نرخ همخونی به ازای هر نسل در مقایسه با آزمون نتاج کمتر است، اما فاصله نسل کوتاه‌تر آن می‌تواند نرخ همخونی سالانه را افزایش دهد (Lillehammer و همکاران، ۲۰۱۱). به علاوه، این خطر هم وجود دارد که انتخاب ژنومی به ایجاد قطعات بزرگ کروموزومی هموژیگوت در اطراف QTL در جامعه تحت انتخاب منجر شود (Sonesson و همکاران، ۲۰۱۰). بنابراین استراتژی‌های کنترل نرخ همخونی در برنامه‌های انتخاب ژنومی از جایگاه پراهمیتی برخوردار هستند. همخونی می‌تواند در دو سطح کنترل شود: نخست اینکه می‌توان نرخ همخونی را در سطح جامعه و به صورت کلی در یک حد مطلوب محدود نمود و در عین حال رشد ژنتیکی را از طریق بهینه‌سازی سهم دراز مدت حیوانات انتخاب شده، به حداقل رساند (Wray and Goddard، ۱۹۹۴؛ Meuwissen، ۱۹۹۷) دوم، می‌توان در سطح یک فرد، از طریق مدیریت جفتگیری‌ها از ایجاد فرزندان با همخونی بالا ممانعت بعمل آورد که در جلوگیری از کاهش عملکرد صفات شایستگی (Smith، ۱۹۹۸) و هموژیگوت شدن آلل‌های کشنده مغلوب اهمیت دارد (Kinghorn، ۲۰۱۱).

روابط خویشاوندی کاندیداهای انتخاب و در نهایت پیش‌بینی میزان همخونی نتاج در طرح‌های اصلاح نژادی از طریق تشکیل ماتریس‌های خویشاوندی با استفاده از اطلاعات شجره‌ای (A)، اطلاعات نشانگرها (GRM)، G_{IBD} و G_{IBS} محاسبه می‌شود. با توجه به تفاوت ماتریس‌های خویشاوندی از نظر نسبت واقعی ژنوم یکسان اجدادی، نشانگرها ژنتیکی مورد استفاده، مقدار تقریبی LD جمعیت، تعداد نسل در شجره و معیار چند

نقشه‌یابی هالدین (Haldane، ۱۹۱۹) برای شبیه‌سازی نوترکیبی استفاده شد. اثرات افزایشی آلل‌های QTL از توزیع گاما با پارامتر شکلی 0.04 و پارامتر مقیاسی $1/66$ نمونه‌گیری شدند (Hayes and Goddard، ۲۰۰۱). اثرات QTL فرض شد که با احتمال 0.5 مثبت یا منفی باشد، چون توزیع گاما فقط مقداری مثبت می‌دهد و وراثت پذیری صفت 0.3 در نظر گرفته شد و بعد از ایجاد اثرات QTL، استاندارد شدند. و کل واریانس ژنتیکی یک بود. شبیه سازی ژنوم و جمعیت با استفاده از نرم افزار Sargolzaei (QMSim ۲۰۰۹) انجام شد.

انتخاب بالای حیوانات در چهار مسیر انتخابی (شدت انتخاب پایین)، در کاهش تغییرات هم خونی، اثر معنی‌دار داشت، اما استفاده از انتقال جنین به رغم افزایش هم خونی جمعیت، تأثیر معنی‌داری در تغییرات هم خونی نداشت.

طراحی آمیزش‌ها می‌تواند بر پاسخ به انتخاب و تنوع ژنتیکی در جمعیت‌های تحت انتخاب موثر باشد. در حالت ایده آل، جفت‌گیری باید به منظور بهینه‌سازی مطلوب بین رشد ژنتیکی و هم خونی صورت گیرد. روش‌های مختلفی به منظور بهینه‌سازی آمیزش پیشنهاد شده است (Kinghorn، ۲۰۱۱؛ Sonesson، ۲۰۰۹؛ Colleau و Meuwissen، ۲۰۰۰). بنابراین، هدف از تحقیق حاضر ارزیابی استراتژی‌های آمیزشی با توجه به معیارهای مختلف تعیین روابط خویشاوندی کاندیداهای انتخاب (ماتریس‌های مختلف خویشاوندی) و همچنین، در نظر گرفتن انتخاب ژنومی تصحیح شده از طریق روش DW (وزن‌دهی به آلل‌های مطلوب با فراوانی کم) به منظور کنترل هم خونی و حداقل کردن پیشرفت ژنتیکی می‌باشد.

مواد و روش‌ها

شبیه‌سازی ساختار ژنوم

در این مطالعه ابتدا ژنومی شامل ۲۶ کروموزوم اتوزوم با طول متفاوت و مشابه با اندازه کروموزوم‌های گوسفند (۲۴۴۹ سانتی‌مترگان) شبیه‌سازی شد (جدول ۱)، سپس تعداد ۶۰۰۰ نشانگر دوآللی^۲ و ۱۹۳۰ QTL چندآللی^۳ (۲، ۳ و ۴ آلل) با فراوانی آللی اولیه برابر با توزیع یکنواخت به طور تصادفی در ژنوم توزیع شد. به منظور حصول تعادل جهش-رانش، جمعیت ۱۰۰۰ نسل تحت آمیزش تصادفی و نرخ جهش $2/5 \times 10^{-5}$ به ازای هر SNP قرار گرفت. توارت SNP مطابق قانون مندل و تابع

² Bi-allelic

³ Mult-allelic

جدول ۱- پارامترهای ژنوم شبیه سازی شده

شماره کروموزوم	طول کروموزوم	تعداد نشانگر	شماره کروموزوم	طول کروموزوم	تعداد نشانگر	شماره کروموزوم	طول کروموزوم	تعداد	QTL
۱	۲۷۵	۶۷۳۷	۱۲۵	۱۴	۶۳	۱۵۴۴	۴۸		
۲	۲۴۸	۶۰۷۶	۲۶۳	۱۵	۸۱	۱۹۸۵	۴۰		
۳	۲۲۴	۵۴۸۸	۱۷۵	۱۶	۷۲	۱۷۶۴	۸۷		
۴	۱۱۹	۲۹۱۶	۳۷	۱۷	۷۲	۱۷۶۴	۴۲		
۵	۱۰۸	۲۶۴۶	۶۶	۱۸	۶۹	۱۶۹۱	۶۳		
۶	۱۱۷	۲۸۶۷	۱۸۳	۱۹	۶۰	۱۴۶۹	۶۱		
۷	۱۰۰	۲۴۵۰	۳۹	۲۰	۵۱	۱۲۵۰	۵۸		
۸	۹۱	۲۲۳۰	۴۵	۲۱	۵۰	۱۲۲۵	۴۷		
۹	۹۵	۲۳۲۸	۵۴	۲۲	۵۱	۱۲۵۰۱	۴۶		
۱۰	۸۶	۲۱۰۷	۴۲	۲۳	۶۲	۱۵۱۹	۵۳		
۱۱	۶۲	۱۵۱۹	۱۰۴	۲۴	۴۲	۱۰۲۹	۴۸		
۱۲	۷۹	۱۹۳۶	۴۰	۲۵	۴۵	۱۱۰۳	۷۴		
۱۳	۸۳	۲۰۳۴	۴۴	۲۶	۴۴	۱۰۷۸	۴۶		
جمع	۲۴۴۹	۶۰۰۰	۱۹۳۰						

Sheep QTL map: <http://sphinx.vet.unimelb.edu.au/cgi-bin/QTLdb/OA/viewmap>

جدول ۲- پارامترهای جمعیت شبیه‌سازی شده

ساختمان جمعیت	
جمعیت تاریخی	
۱۰۰۰[۰]	مرحله ۱: اندازه جمعیت [تعداد نسل]
۲۰۰۰ [۱۰۰۰]	مرحله ۲: اندازه جمعیت [تعداد نسل]
۱۰۰۰[۱۰۰۵][۵۰۰][۱۰۱۰]	مرحله ۳: اندازه جمعیت [تعداد نسل]
-	جمعیت اخیر
۵۰	تعداد نرهای بنیانگذار از جمعیت تاریخی
۵۰۰	تعداد ماده‌های بنیانگذار از جمعیت تاریخی
حداقل هم خونی (minf) / تصادفی (rnd)	طرح آمیزش
۱۰	تعداد نسل
۲	تعداد نتاج به ازای هر ماده
%۵۰	احتمال نر و ماده بودن نتاج
۰/۴	نسبت جایگزینی نرها
۰/۲۵	نسبت جایگزینی ماده‌ها
ارزش اصلاحی بالاتر	طرح انتخاب
سن	طرح حذف
ارزش اصلاحی بالاتر	طرح انتخاب
برآورد ارزش اصلاحی	
براساس ماتریس های A، GRM، IBD و GBLUP/ BLUP	
ماتریس وزن شده (DW)	
۰/۳	وراثت پذیری صفت
۱/۰	واریانس فوتیجی
۲۶	ساختمان ژنوم
۲۴۴۹	تعداد کروموزوم
۶۰۰۰	طول ژنوم
۱۹۳۰	تعداد مارکر
تصادفی	توزیع QTL روی کروموزوم
$2/5 * 10^5$	نرخ جهش
توزیع گاما	توزیع اثرات آللی افزایشی QTL
۰/۰۲	فراوانی آلل کمیاب

شیوه‌سازی جمعیت

\mathbf{y} = بردار رکوردهای فنوتیپی، $\boldsymbol{\mu}$ = میانگین کل، \mathbf{Z} = ماتریس ضرایب، \mathbf{a} = بردار اثرات ژنتیکی افزایشی حیوانات و \mathbf{e} = بردار خطای تصادفی. فرض شد که $a_{ij} \sim N(0, G_{ij}\sigma^2)$ به طوریکه (\cdot) به ماتریس‌های \mathbf{A} ، \mathbf{GRM} و \mathbf{G}_{IBD} (ماتریس وزن داده شده) اشاره دارد و σ^2 واریانس ژنتیکی افزایشی مربوط به (\cdot) است.

ماتریس روابط خویشاوندی ژنومی (VanRaden, 2008)

[۲]

$$GRM =$$

$$\frac{XX'}{2 \sum p_i(1-p_i)}$$

ماتریس وزن داده شده:

[۳]

$$GRM =$$

$$\frac{XWX'}{2 \sum p_i(1-p)}$$

در روابط فوق، X ماتریس مرکزی شده داده‌های ژنوتیپی و W ماتریس قطری با وزن‌های مختلف برای هر SNP در قطراست به وزن دهی براساس آلل کمیاب صورت گرفت و SNP‌هایی که آلل کمیاب پایینی داشتند ضریب بالاتری گرفتند. برای محاسبه وزن هر نشانگر براساس MAF از فرمول زیر استفاده شد:

$$w_i = \frac{e^{(par_1-MAF)par_2}}{1+e^{(par_1-MAF)par_2}}$$

[۴]

در رابطه بالا w_i عنصر قطری ماتریس W است؛ MAF فراوانی آلل کمیاب، Par1 و Par2 پارامترهای ثابت تابع و برابر با 0.07 و 0.15 می‌باشند.

ماتریس G_{IBS} یا ماتریس خویشاوندی تشابه اجدادی Identical By State تصادفی یا

برای ایجاد خویشاوندی‌های IBS، X_{ij} به ژنوتیپ حیوان ۱ برای SNP_j اشاره دارد،

[۵]

$$x_{ij} = (g_{ij} - 2p_j) / \sqrt{2p_j(1 - p_j)}$$

که g_{ij} ژنوتیپ_j برای حیوان i است، با $2, 1, 0$ ، $g_{ij}=0$ که

ابتدا جمعیت اولیه با اندازه مؤثر ۱۰۰۰ حیوان (۵۰ نر و ۵۰۰ ماده) غیرخویشاوند با الحاق تصادفی گامت‌ها^۴ طبق مدل فیشر-رایت برای ۱۰۰۰ نسل گسسته آمیزش تصادفی داده شد تا به تعادل جهش-رانش برسد و تعداد افراد به ۲۰۰۰ رسید و سپس طی ۱۰ نسل دیگر تعداد افراد کاهش یافت و به ۱۰۰۰ فرد (۵۰۰ نر و ۵۰۰ ماده در نسل آخر) رسید و جمعیت ثانویه نام‌گذاری گردید. در نسل ۱۰۱۰ ام، عدم تعادل پیوستگی در مناطق با فواصل کوتاه $0.05-0.1 Mb$ ایجاد شد.

جمعیت اخیر

جمعیت اخیر به وسیله ۵۰۰ نر و ۵۰۰ ماده بنیانگذار از آخرین نسل جمعیت ثانویه ایجاد شد. سپس جمعیت اخیر با انتخاب ۵۰ نر و ۵۰ ماده برای ۱۰ نسل شیوه‌سازی شدند. پارامترهای استفاده شده در نسل‌های اخیر از سیستم تولید واقعی گوسفند با دو نتاج به ازای هر میش در سال، ۵۰ درصد نتاج نر و ۵۰ درصد ماده و انتخاب براساس ارزش‌های اصلاحی بالا و حذف براساس سن دام و ۲۵ ارزش اصلاحی انجام شد. نرخ جایگزینی نر 40 درصد و ماده 25 درصد بود سیستم آمیزش در سناریوها به دو صورت تصادفی و برمنای حداقل همخونی بود. ارزش‌های اصلاحی با استفاده از دو روش پیش‌بینی گردید. در روش اول، ارزش‌های اصلاحی با استفاده از اطلاعات شجره ای و مدل حیوانی، و در روش دوم، ارزش‌های اصلاحی ژنومی با استفاده از روش GBLUP (ماتریس روابط ژنومی حاصل از روش‌های مختلف) در هر نسل پیش‌بینی شد. به منظور تشکیل ماتریس روابط ژنومی از روش‌های GRM و ماتریس وزن داده شده ($G_{weighted}$) استفاده شد.

برآورد ارزش‌های اصلاحی

ارزش‌های اصلاحی افراد کاندیدا با استفاده از مدل زیر پیش‌بینی گردید:

$$\mathbf{y} = \mathbf{1}\boldsymbol{\mu} + \mathbf{Z}\mathbf{a} + \mathbf{e}$$

[۶]

⁴ Random union of gametes



فاصله نشانگری $1/1$ تا $0/2$ سانتی مورگان برابر $0/18 \pm 0/14$ بود، که در دامنه‌ی داده‌های گزارش شده توسط Mastrangelo و همکاران در سال 2014 بود. Mastrangelo و همکاران 2014 متوسط^۲ بین مارکرهای تک نوکلئوتیدی در طول کل Valle del کروموزوم‌های گوسفند $155 \pm 0/208$ برای نژاد Comisona $155 \pm 0/208$ ، Belice $188 \pm 0/128$ برای Pinzirita گزارش کردند. دلیل بالاتر بودن صحت ارزیابی‌های ژنومی نسبت به ارزیابی‌های رایج استفاده از همه واریانس‌های درون و بین خانواده در ارزیابی‌های ژنومی می‌باشد. انتخاب ژنومی با استفاده از اطلاعات ژنتیکی نشانگرها، واریانس نمونه‌گیری مندلی را با صحت بالایی برآورد می‌کند که منجر به تمایز بهتر درون خانواده‌ها و پیشرفت ژنتیکی پایدار خواهد شد. در حالی که در روش رایج انتخاب، همه برادر خواهران تنی فاقد رکورد، ارزش اصلاحی یکسانی خواهند داشت. از آنجا که راه دیگر ارزیابی ژنومی، در نظر گرفتن قطعات کروموزومی IBD است (Kirin و همکاران، 2010)، معیار این ارزیابی عبارت است از قطعات کروموزومی هموژیگوت که بصورت احتمال قطعات کروموزومی یکسان اجدادی (IBD) از جامعه نمونه‌گیری شده، تعریف می‌شود (Hayes و همکاران، 2003). به جای آن می‌توان، قطعات کروموزومی یکسان غیراجدادی (IBS) را توسط چندین نشانگر متواتی در محاسبات مورد نظراستفاده نمود. اگر تعداد نشانگر در هابلوتاپ زیاد باشد، نتایج IBS و IBD بسیار نزدیک بهم خواهند بود (Macleod و همکاران، 2009) که این موضوع با نتایج مطالعه‌ی حاضر مطابقت بالایی داشت به همین دلیل در این مطالعه نتایج ماتریس IBS جهت گزارش نتایج انتخاب شد. Vela-Avitua و همکاران (2015) گزارش کردند که ارزش‌های اصلاحی در تراکم بالای مارکر، IBS-GS و GS به وضوح، دقیق‌تر از ارزش‌های اصلاحی بر اساس شجره است و حتی در بعضی موارد تفاوت صحت بین این روش‌ها بیشتر از 20% بود. Luan و همکاران (2014) میانگین صحت ارزیابی GEBV حاصل از دو ماتریس خویشاوندی IBS و ROH با MAF کمتر از $0/1$ به ترتیب $0/75$ و $0/73$ را گزارش کردند.

ژنوتیپ‌های SNP به صورت $0/0$ ، $1/0$ و $1/1$ به ترتیب هستند و p_j فراوانی آلل SNP است. G_{IBS} ماتریس کوواریانس $G_{IBS}=XX'/Nm$ محاسبه می‌شود. N_m نشان دهنده تعداد مارکرهاست. در این تحقیق از نرم افزار Plink برای محاسبه ماتریس IBS استفاده شد (Purcell و همکاران، 2007).

ارزیابی نتایج

هر سناریو 10 بار تکرار شد و میانگین 10 تکرار به عنوان نتیجه سناریوی مورد نظر لحاظ گردید. پارامترهای رشد ژنتیکی، میزان هموژیگوستی، همخونی و همبستگی پیرسون بین ارزش اصلاحی حقیقی (TBV) و ارزش اصلاحی پیش‌بینی شده (DGV) به عنوان معیار صحت در نظر گرفته شد. استراتژیهای مختلف بسته به سیستم آمیزش (تصادفی و حداقل همخونی) و روش محاسبه ارزش اصلاحی با استفاده از آزمون توکی با هم مقایسه شدند.

نتایج و بحث

صحت ارزیابی

صحت پیش‌بینی ارزش‌های اصلاحی در استراتژی‌های مختلف در جدول 3 ارائه شده است. در استراتژی با طرح آمیزش حداقل همخونی و ماتریس خویشاوندی ژنومی GRM بالاترین صحت ارزیابی ($0/75$) مشاهده گردید. در حالی که پایین‌ترین صحت ارزیابی ($0/63$) مربوط سناریوهای بود که از ماتریس خویشاوندی افزایشی (A) و Weighted استفاده گردید. در استراتژی‌های با ماتریس خویشاوندی IBS صحت ارزیابی کمتر از استراتژی دارای ماتریس GRM بود. در سیستم آمیزش تصادفی بالاترین صحت برآورد شده مربوط به ماتریس خویشاوندی GRM با Weighted IBS ($0/74 - 0/70$) بود و ماتریس خویشاوندی Weighted IBS صحت ارزیابی ($0/62$) بعد از ماتریس‌های A و GRM و IBS قرار داشت. اما در مقایسه‌ی استراتژی‌های حاصل از ترکیب سیستم آمیزشی با ماتریس خویشاوندی، استراتژی حداقل همخونی-GRM بالاترین صحت را در بین استراتژی‌ها به خود اختصاص داد. در مطالعه حاضر میزان عدم تعادل لینکاژی ($LD=r^2$) در

جدول ۳: میانگین رشد ژنتیکی، هموزیگوستی و صحت برآورد ارزش‌های اصلاحی در استراتژی‌های مختلف

صحت	میانگین رشد ژنتیکی	سیستم آمیزش-ماتریس خویشاوندی
۰/۶۳ ($\pm 0/01^a$)	۰/۷۴ ($\pm 0/02$) ^b	حداقل همخونی-A
۰/۸۵ ($\pm 0/001$) ^b	۰/۷۸۹ ($\pm 0/003$) ^c	حداقل همخونی-GRM
۰/۷۱ ($\pm 0/01$) ^b	۰/۷۸۹ ($\pm 0/003$) ^{bc}	حداقل همخونی-IBS
۰/۶۲ ($\pm 0/02$) ^a	۰/۶۵ ($\pm 0/04$) ^a	حداقل همخونی-Weighted
۰/۶۵ ($\pm 0/014$) ^a	۰/۷۵ ($\pm 0/004$) ^b	A-تصادفی
۰/۸۴ ($\pm 0/012$) ^b	۰/۸۲ ($\pm 0/003$) ^c	GRM-تصادفی
۰/۷ ($\pm 0/01$) ^b	۰/۷۸۲ ($\pm 0/02$) ^c	IBS-تصادفی
۰/۶۲ ($\pm 0/011$) ^a	۰/۶۸ ($\pm 0/013$) ^a	Weighted-تصادفی

حروف مشابه در هر ستون نشان‌دهنده عدم اختلاف معنی دار است.

خویشاوندی در سطح مارکر اشاره دارد. تفرق همزمان می‌تواند به عنوان انحرافات درون خانواده از خویشاوندی‌های موردن انتظار تعريف شود. Vela-Avitua و همکاران در سال ۲۰۱۵ نشان LD دادند که IBS-GS توانایی نسبتاً مناسبی در تسخیر اطلاعات در پیش‌بینی ارزش‌های اصلاحی دارد، هرچند ممکن است این نتیجه‌های از فرضیات ساده منظور شده در شبیه‌سازی تصادفی باشد. داده‌های واقعی احتمالاً پیچیده‌تر هستند، برای مثال الگوهای LD ممکن است توسط الگوهای نوترکیبی تحت تأثیر قرار بگیرند. همانطور که در Atlantic Salmon گزارش شده است LD، Lien) و همکاران، ۲۰۱۱). نرخ نوترکیبی در نرها به طور معنی‌داری پایین تر از ماده‌ها می‌باشد. بخشی از اطلاعات LD توسط IBS-GS به دام می‌افتد که توسط مارکرهای دارای IBS-Tراکم کافی به دست آمده است. که می‌تواند برتری نسبی GS بر IBD-GS را در بالاترین تراکم مارکری توجیه نماید. زمانیکه اطلاعات بیشتری از اثرات مارکر (افزایش تراکم مارکری از ۵۰۰۰ به ۱۰۰۰۰) در طول نسل‌ها فراهم شد، صحت انتخاب افزایش یافت. این اثر در انتخاب ژنومی بیشتر از انتخاب تصادفی بوده و احتمالاً به دلیل فراوانتر بودن آل‌های مطلوب است که با

Luan و همکاران ۲۰۱۲ و Habier ۲۰۰۷ گزارش کردند که پیش‌بینی ژنومی براساس اطلاعات IBS در اصل نیازی به داده‌های شجره‌ای ندارد چراکه ساختار خانواده در یک جمعیت را مورد استفاده قرار می‌دهد و نشانگرهایی را شناسایی می‌کند که آنها از ساختار خانواده حاصل شده است. این LD، رابطه‌های ژنتیکی نزدیک بین حیوانات درون شجره را که بوسیله آنالیز لینکاژی توصیف شده را فراهم می‌کند. فرناندو و گراسمن (۱۹۸۹) گزارش کردند که ماتریس IBD یا (ماتریس LA در برگیرنده احتمالات IBD درون یک شجره شناخته شده است و اطلاعات آنالیز لینکاژی را به تصویر می‌کشد. IBD-GS، IBS-GS_ GS می‌تواند انحرافات کوچک از ماتریس شجره را به طور مستقیم استفاده می‌کند، در حالی که ژنوتیپ‌های مارکری را استفاده می‌کند که از والدین به ارث رسیده است. مدل‌های GS می‌تواند انحرافات کوچک از ماتریس خویشاوندی IBD مورد انتظار را نشان دهد. این انحرافات به وسیله آنالیز لینکاژی هنگام استفاده از مدل IBD-GS می‌تواند شناسایی شوند اما در مدل مبتنی بر شجره نادیده گرفته می‌شود. اطلاعات تفرق همزمان ممکن است به وسیله IBS-GS هم شناسایی شوند، زمانی که خویشاوندی‌های IBD به طور ویژه بر

مبتنی بر ماتریس A (rnd_A, minf_A) استفاده شد، میانگین رشد ژنتیکی (TBV) به ازای هر نسل از ۰/۰۰۰۸ در نسل صفر تا ۱/۵۶ در نسل ۱۰ افزایش یافت. ضریب رگرسیون رشد ژنتیکی به ازای هر نسل ۰/۱۶۳ بود. Hayes و همکاران (۲۰۰۹) و VanRaden (۲۰۰۸) گزارش کردند اگر ماتریس روابط خویشاوندی ژنومی به جای ماتریس A برای پیش‌بینی EBV استفاده شود، نرخ رشد ژنتیکی می‌تواند افزایش یابد که با نتایج مطالعه حاضر مطابقت دارد. دو استراتژی با طرح آمیزشی تصادفی و حداقل همخونی اما با روابط خویشاوندی مبتنی بر ماتریس روابط خویشاوندی ژنومی دارای رشد ژنتیکی بیشتر از دو استراتژی مبتنی بر ماتریس A بودند. در استراتژی حداقل همخونی-ماتریس GRM، روند رشد ژنتیکی (TBV) از ۰/۰۰۰۸ در نسل صفر به ۱/۷ در نسل ۱۰ رسید که ضریب رگرسیونی رشد ژنتیکی در این استراتژی به ازای هر نسل ۰/۱۸ بود. همانطور که ملاحظه شد استفاده از ماتریس روابط خویشاوندی ژنومی باعث رشد ژنتیکی بالاتری نسبت به حالت استفاده از شجره شد. در استراتژی‌های با طرح آمیزش متفاوت اما معیار خویشاوندی یکسان تفاوت در رشد ژنتیکی قابل توجه نبود که قابل انتظار بود. زیرا طرح‌های آمیزش تنها می‌توانند نحوه ترکیب کروموزوم‌های مختلف از افراد انتخاب شده را تحت تاثیر قرار دهند و در انتخاب و یا عدم انتخاب کاندیداهای مداخله ای ندارند. اما تفاوت رشد ژنتیکی بین معیارهای خویشاوندی متفاوت به صورت ماتریس‌های GRM، IBS و Weighted IBS قابل توجه بود. بدیهی است که روش محاسبه خویشاوندی افراد می‌تواند مقادیر این ماتریس را تحت تاثیر قرار داده و در نتیجه بر نحوه توارث صفت موثر باشد. با توجه به نتایج، طرح‌های آمیزشی برای کنترل نرخ همخونی نسل بعد در یک گله به کار می‌روند، به ویژه اگر قرار باشد ضمن کنترل همخونی در کل جمعیت، رشد ژنتیکی

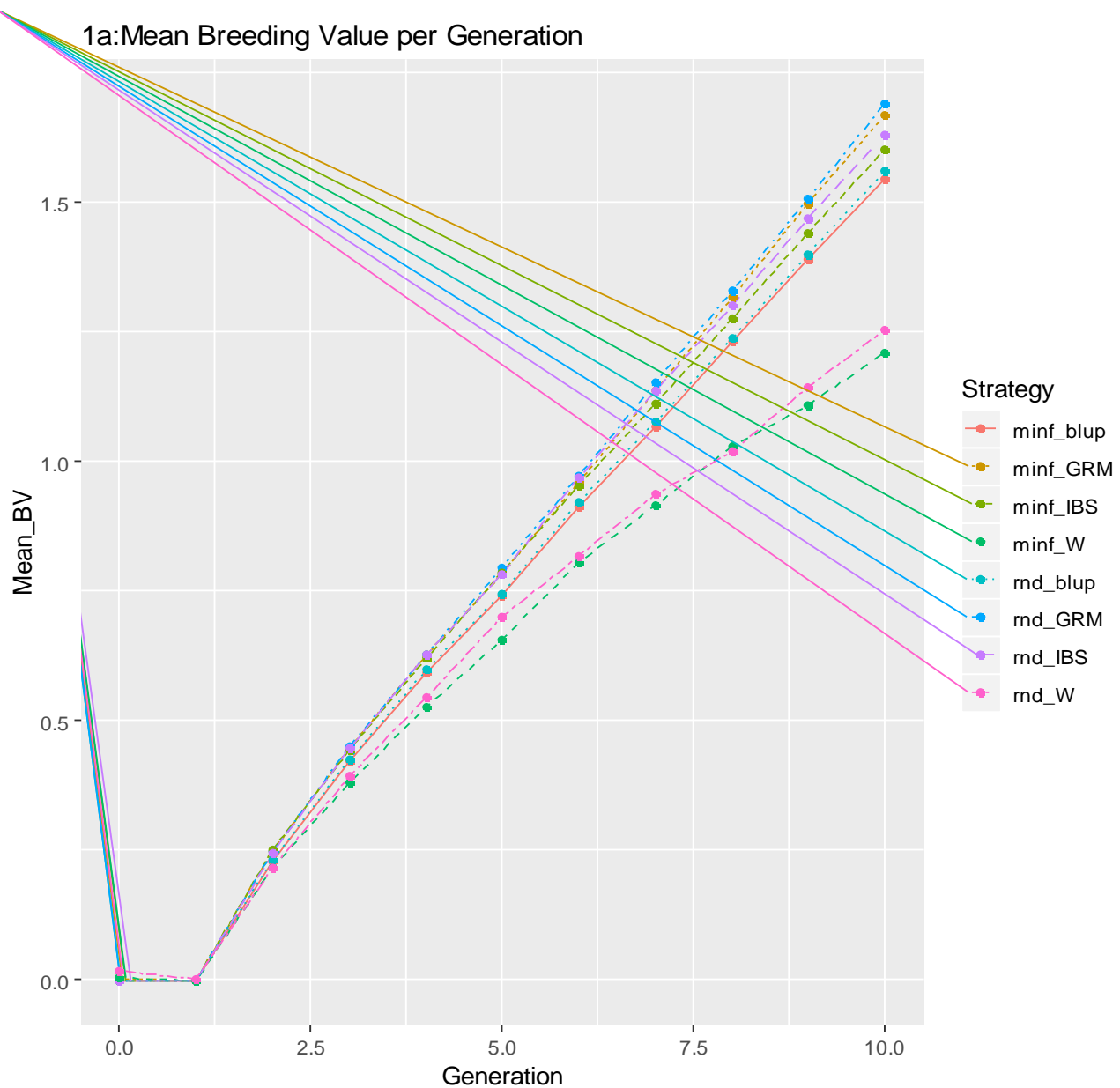
دقت بیشتر برآورد می‌شوند بنابراین، صحت انتخاب ژنومی در نسل ۵ (۰/۸۲) در حالیکه صحت در انتخاب فنوتیپی در نسل ۵ (۰/۳۴) گزارش شد (Sonesson و همکاران، ۲۰۰۹)

میانگین پیشرفت ژنتیکی

میانگین رشد ژنتیکی استراتژی‌های مختلف در جدول ۳ ارائه شده است. در استراتژی با طرح آمیزش حداقل همخونی، استفاده از ماتریس خویشاوندی ژنومی GRM منجر به بالاترین میانگین رشد ژنتیکی (۰/۷۸۹) و استفاده از ماتریس وزن داده شده منجر به کمترین میانگین رشد ژنتیکی (۰/۶۵) گردید. در سیستم آمیزش تصادفی با ماتریس خویشاوندی GRM (۰/۸۱) و IBS (۰/۷۸) در مقایسه با دو ماتریس وزن داده شده و خویشاوندی (A) رشد ژنتیکی بیشتری مشاهده گردید. بهبود پیشرفت ژنتیکی در استراتژی‌های با ماتریس خویشاوندی A، از استراتژی‌های دارای ماتریس GRM و IBS کمتر، اما از ماتریس وزن داده شده بالاتر بود. مقایسه دو سیستم آمیزشی حاکی از این بود که سیستم آمیزشی تصادفی نسبت به حداقل همخونی، با وجود مشابه بودن طرح انتخاب (ebv/h) ارزش اصلاحی / حداقل (HDAKTR) پیشرفت ژنتیکی بیشتر نسبت به سیستم آمیزشی حداقل همخونی نشان داد و این تفاوت در شرایطی که از ماتریس GRM و IBS استفاده گردید قابل توجه بود. مقایسه ترکیب سیستم آمیزشی با ماتریس خویشاوندی نشان داد که سیستم آمیزش حداقل همخونی-GRM بیشترین میانگین رشد ژنتیکی را خواهد داشت. میانگین رشد ژنتیکی در طی ۱۰ نسل حاصل از استراتژی minf_IBS تقریباً ۰/۷۷ و استراتژی rnd_IBS (۰/۷۸) بود که با همدیگر تفاوت قابل توجهی نداشتند. شکل ۱ روند رشد ژنتیکی در ۸ استراتژی مورد مطالعه را در طی ۱۰ نسل نشان داده است. در دو استراتژی با طرح آمیزشی تصادفی و حداقل همخونی که از روابط خویشاوندی

(2010). در JW فرض براین است که همه‌ی آلل‌های مارکری مطلوب در نهایت تثیت خواهد شد. بنابراین تثیت همه‌ی آلل‌های مطلوب مشکل و حتی غیر ممکن است، به ویژه هنگامی که تعداد زیادی QTL با اثرات کوچک مورد نیاز است که شناسایی شوند. در مطالعه حاضر مقایسه میانگین، حداکثر و حداقل عناصر قطعی و غیر قطعی ماتریس‌های GRM، IBS و با ماتریس وزن داده شده Weighted نشان داد که اگر در نسل A صفر فراوانی آللی QTL‌ها در حدود متوسط باشد ($p=q=0.5$) باشد احتمالاً دادن وزن به نشانگرهای با فراوانی کم نه تنها بهبودی در نتایج حاصل نمی‌کند بلکه باعث صدمه به ساختار ماتریس خویشاوندی نیز می‌شود. در مطالعه حاضر ۱۹۳۰ QTL برای صفتی با واریانس افزایشی $0/3$ شبیه‌سازی شد. بنابراین، سهم بخش زیادی از QTL‌ها در توجیه واریانس بسیار ناچیز است. لذا وقتی فراوانی QTL کم باشد دادن وزن به یک نشانگر که با این لینک است نمی‌تواند چندان بهبودی حاصل کند. در این حالت هم به شرطی ماتریس وزنی ژنومی می‌تواند مفید واقع شود که QTL‌ها دارای تأثیر فراوانی آلل معنی‌داری بر صفت بوده و فراوانی آللی کمیاب پایینی داشته باشند و میزان LD آنها با نشانگرهایی که برای ارزیابی استفاده می‌شوند، بالا باشد.

در از مدت حداکثر شود. نتایج حاصل از استراتژی حداقل هم‌خونی – ماتریس Weighted با میانگین رشد ژنتیکی از $-0/0008$ در نسل ۱۰ قابل مشاهده بود. روند رشد ژنتیکی در استراتژی‌های دیگر پایین‌تر بود و ضریب رگرسیون میزان رشد ژنتیکی به ازای نسل $0/13$ بود(شکل ۱a). Liu و همکاران، (۲۰۱۶) نشان دادند که پیش‌بینی ژنومی بدون وزن‌دهی به آلل‌های مطلوب کمیاب با روش بیز لاسو منجر به $21/4$ درصد رشد ژنتیکی بیشتر در طولانی مدت و $23/5$ درصد نرخ هم‌خونی کمتر در طی 40 نسل نسبت به رگرسیون ریج شد. در پیش‌بینی ژنومی وزن داده شده رشد ژنتیکی طولانی مدت کمتر از پیش‌بینی ژنومی بدون وزن‌دهی بود که نتایج ما را تأیید می‌کند. با توجه به اینکه در مطالعه حاضر دوره زمانی 10 نسل در نظر گرفته شد این تعداد نسل برای تغییر فراوانی آللی کم بود از آنجا که وزن‌دهی آللی وابسته به فراوانی آللی است و رانش ژنتیکی اولیه در 10 نسل اول منجر به کاهش فراوانی آلل‌های کمیاب خواهد شد، در نتیجه مقدار رشد ژنتیکی در کوتاه مدت منجر به نتیجه‌ی مطلوبی نخواهد شد. ثابت شده است که روش JW در افزایش رشد ژنتیکی بلندمدت در مقایسه با روش‌های دیگر موفق بوده است (Junnink,



شکل ۱: روند رشد ژنتیکی در استراتژی‌های مختلف در طی ۱۰ نسل

روند هم‌خونی و هموزیگوستی

نتایج تعداد حیوانات همخون، میانگین هم‌خونی در جمعیت هم‌خون و کل جمعیت و نرخ هموزیگوستی در استراتژی‌های مختلف در جدول ۴ ارائه شده است. میانگین ضریب هم‌خونی کل جمعیت، تعداد حیوانات همخون و میانگین ضریب هم‌خونی جمعیت هم‌خون در استراتژی‌های با طرح آمیزش تصادفی بیشتر از طرح آمیزش حداقل هم‌خونی بود. در بین چهار استراتژی با طرح

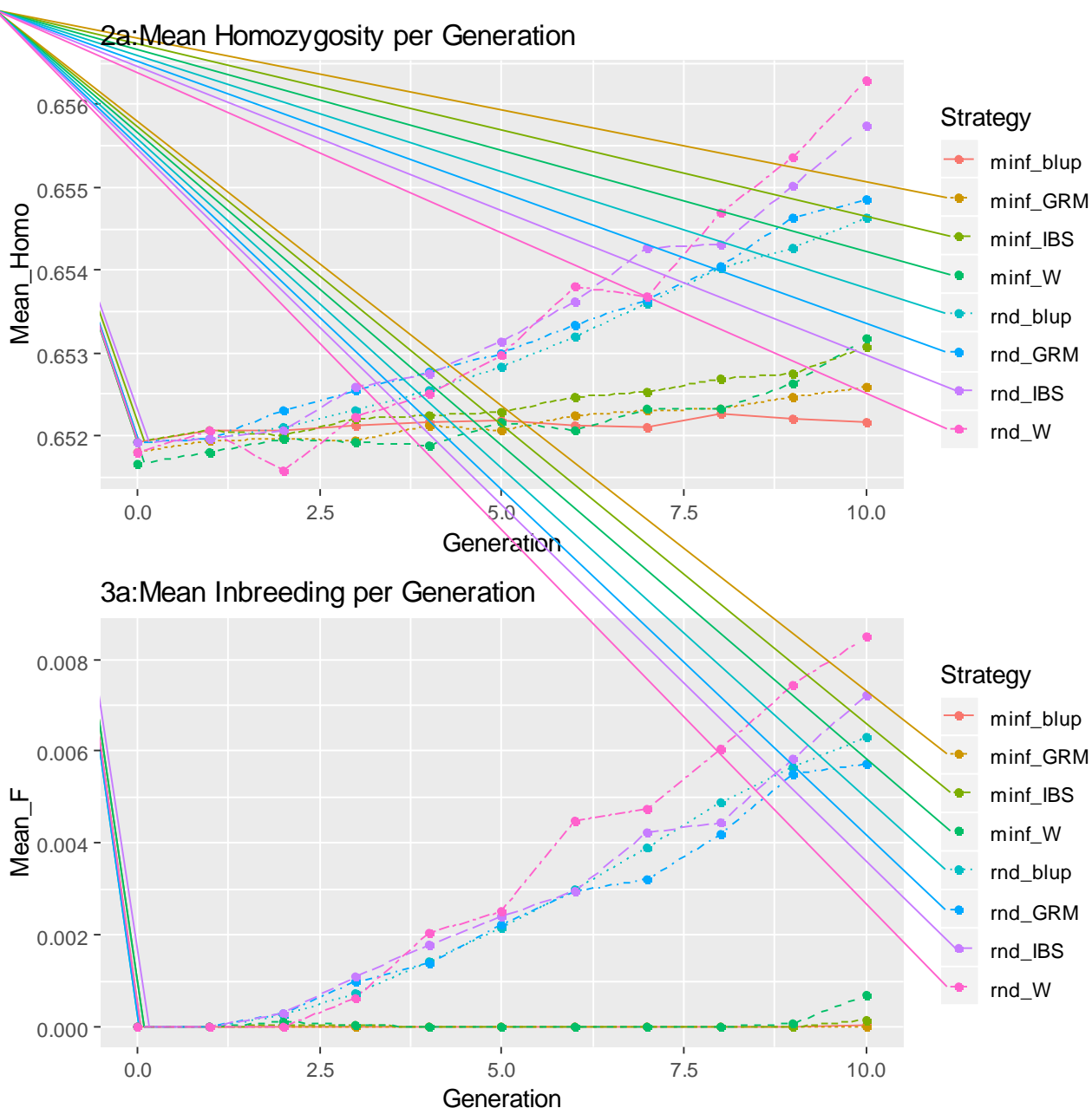
آمیزش تصادفی، استراتژی طرح آمیزش تصادفی با ماتریس خویشاوندی وزن داده شده میانگین ضریب هم‌خونی آن بیشتر از بقیه بود. در استراتژی‌های با حداقل هم‌خونی نیز استراتژی با ماتریس وزن داده شده بیشترین تعداد حیوان هم‌خون را داشت و میانگین ضریب هم‌خونی جمعیت هم‌خون در این استراتژی بیشتر بود. در هر دو طرح آمیزش تصادفی و حداقل هم‌خونی کمترین بود.

است. کاهش ۶ تا ۲۲ درصدی در هم‌خونی با استفاده از سیستم آمیزش ارزشمند است چون بدون هزینه اضافی و محدودیت لجستیک تحقق می‌یابد. استراتژی‌های آمیزشی، اطلاعات ژنومی را به طور مناسب برای جفت والد استفاده می‌کند. استراتژی‌های آمیزشی باعث افزایش استقلال و کاهش اختلاف بین سهم‌های ژنتیکی اجداد می‌شود. افزایش استقلال یعنی امکان انتخاب سهم اجداد با در نظر گرفتن نمونه‌گیری مندلی فراهم شود. سهم‌های اجداد نزدیک‌تر، رابطه خطی بین توزیع رشد ژنتیکی طولانی مدت و نمونه‌گیری مندلی اجداد را ثابت می‌کند. میانگین هموژیگوستی در تمام استراتژی‌ها در دامنه‌ی ۰/۶۵۶-۰/۶۵۲ بود. در استراتژی‌های با طرح آمیزش حداقل هم‌خونی (minf) از $\text{minf_W} = ۰/۶۵۳$ ، بالاتر نرفته و بالاترین آن مربوط به استراتژی rnd_W بود (جدول ۴). اما در بین استراتژی‌های با طرح آمیزشی تصادفی میانگین هموژیگوستی $۰/۶۶$ رسید که بالاترین آن مربوط به استراتژی با طرح آمیزش تصادفی و ماتریس ژنومی وزنی (rnd_W) بود. همانطور که در جدول (۴) مشاهده می‌شود بالاترین تعداد هم‌خون و ضریب هم‌خونی هم مربوط به این استراتژی بود. ماتریس G برآورد شده از میانگین آماره‌های تک SNP کل ژنوم، که همان ماتریس G روش VanRadén است، طول نواحی ژنومی که بین افراد به اشتراک گذاشته شده است محاسبه نمی‌کند (VanRadén, 2008). با چنین پیش‌فرضی، ما انتظار داریم که سیستم‌های آمیزشی براساس حداقل هم‌تباری با ماتریس‌های خویشاوندی برآورد شده براساس روش‌های هاپلوتاپی، نرخ همخونی کمتری نسبت به ماتریس G ایجاد کنند. Sonesson و همکاران ۲۰۱۰ استراتژی‌های بهینه‌سازی سهم مشارکت در ایجاد نسل بعد را با وارد کردن اطلاعات ژنومی گسترش دادند. آنها به روشنی اهمیت کنترل همخونی به روش ژنومی را در شرایط انتخاب ژنومی نشان دادند.

تعداد حیوان هم‌خون مربوط به ماتریس ژنومی (GRM) بود ولی میانگین ضریب هم‌خونی در کل جمعیت و در جمعیت هم‌خون در ماتریس A و GRM برابر بود. حداکثر هم‌خونی در استراتژی حداقل هم‌خونی- ماتریس GRM کمترین مقدار بود یعنی می‌توان نتیجه گرفت که استراتژی مربوطه حیوانات هم‌خون با پایین‌ترین ضریب هم‌خونی را ایجاد کرده است، در صورتی که حداکثر هم‌خونی در استراتژی حداقل هم‌خونی با ماتریس IBS و Weighted IBS حتی با وجود محدودیت هم‌خونی نسبتاً بالا بود. در شکل ۲ روند هم‌خونی در طی ۱۰ نسل در استراتژی‌های مختلف نمایش داده شده است. روند همخونی در استراتژی‌های با طرح آمیزش حداقل هم‌خونی بدون توجه به معیار روابط خویشاوندی در طی ۱۰ نسل در حداقل مقدار باقی ماند اما در استراتژی‌های با طرح آمیزش تصادفی روند هم‌خونی در طی ۱۰ نسل رو به افزایش بود. در این استراتژی‌ها معیار روابط خویشاوندی در کنترل مقدار هم‌خونی در طول نسل‌ها تعیین کننده بود به طوریکه در استراتژی ماتریس ژنومی وزنی بالاترین هم‌خونی نسبت به سایر استراتژی‌ها مشاهده گردید و در استراتژی با ماتریس ژنومی (GRM) کمترین مقدار هم‌خونی در طی ۱۰ نسل نسبت به سه استراتژی دیگر با طرح آمیزش تصادفی مشاهده گردید. Liu و همکاران (۲۰۱۶) دو استراتژی آمیزشی MCAC و MC(Minimum-Coancestry Mating) (Minimizing the Covariance between Ancestral genetic Contribution) را با استفاده از اطلاعات ژنومی و شجره بررسی کردند. MC و MCAC ژنومی ۶ تا ۲۲ درصد هم‌خونی کمتری نسبت به اطلاعات شجره اما رشد ژنتیکی مشابهی ایجاد می‌کنند، اما نسبت به طرح آمیزشی (RAND) ۲۸ تا ۴۴ درصد هم‌خونی کمتر و بیشتر از ۱۴ درصد رشد ژنتیکی ایجاد می‌کنند. این نتایج مشخص کرد که MCAC و MC با اطلاعات ژنومی نسبت به اطلاعات شجره‌ای در کنترل هم‌خونی مؤثرتر

جدول ۴: آمار توصیفی هم خونی و هموزیگوستی براساس سیستم آمیزش و نوع ماتریس خوشاوندی

سیستم آمیزش-ماتریس خوشاوندی	تعداد حیوانات همخون	میانگین همخون	میانگین هم خونی کل همخون	میانگین هم خونی جمعیت همخون	حداکثر هم خونی همخون	میانگین هم خونی جمعیت همخون	میانگین هم خونی کل همخون	میانگین همخون
حداقل هم خونی-A	۲۲۲	۰/۰۱	۰/۰۰۰۳	۰/۰۰۰۰۰۳ ^a (±۰/۰۰۰۱)	۰/۹۵۲	(±۰/۰۰۰۱)	۰/۰۰۰۳	۰/۹۵۲
حداقل هم خونی-GRM	۱۴۸	۰/۰۰۵	۰/۰۰۰۳	۰/۰۰۰۰۰۳ ^a (±۰/۰۰۰۱)	۰/۹۵۲	(±۰/۰۰۰۱)	۰/۰۰۰۳	۰/۹۵۲
حداقل هم خونی-IBS	۴۰۳	۰/۰۴۵	۰/۰۰۰۶	۰/۰۰۰۰۰۴ ^a	۰/۹۵۲	(±۰/۰۰۰۱)	۰/۰۰۰۶	۰/۹۵۲
حداقل هم خونی-Weighted	۶۵۰	۰/۰۳۱۲۵	۰/۰۰۱	۰/۰۰۰۰۰۴ ^a (±۰/۰۰۰۲)	۰/۹۵۲	(±۰/۰۰۰۲)	۰/۰۰۰۱	۰/۹۵۲
تصادفی-ماتریس A	۲۱۵۷	۰/۲۷	۰/۰۱۳	۰/۰۰۰۳ ^b (±۰/۰۰۰۲)	۰/۹۵۳	(±۰/۰۰۰۲)	۰/۰۰۱۳	۰/۹۵۳
تصادفی-ماتریس GRM	۲۰۳۷	۰/۲۵	۰/۰۱۳	۰/۰۰۰۲۴ ^b (±۰/۰۰۰۲)	۰/۹۵۳	(±۰/۰۰۰۲)	۰/۰۰۱۳	۰/۹۵۳
تصادفی-ماتریس IBS	۲۲۵۴	۰/۲۷	۰/۰۱۴	۰/۰۰۰۳ ^b (±۰/۰۰۰۲)	۰/۹۵۳	(±۰/۰۰۰۲)	۰/۰۰۱۴	۰/۹۵۳
تصادفی-ماتریس Weighted	۲۵۲۴	۰/۲۵	۰/۰۲	۰/۰۰۰۳ ^b (±۰/۰۰۰۴)	۰/۹۵۳	(±۰/۰۰۰۴)	۰/۰۰۰۲	۰/۹۵۳



شکل ۲: میانگین هم‌خونی و هموزیگوستی در ۸ استراتژی

نتیجه‌گیری کلی

محدودیت هم‌خونی مستلزم تغییرات در روش تعیین روابط خویشاوندی تا حد زیادی محقق شد. در استفاده از ماتریس ژنومی وزنی، وزن دهنی به آل‌های مطلوب به منظور ثبت آلل‌ها وقتی که تعداد زیاد QTL با اثرات کوچک باید شناسایی شوند، ثبت

نتایج نشان دادند انتخاب ژنومی حاصل از ماتریس‌های ژنومی GRM و IBS نسبت به ماتریس A در بهبود رشد ژنتیکی و افزایش صحت ارزیابی‌ها و همچنین کنترل هم‌خونی موثرتر بود. در این مطالعه دستیابی به پیشرفت ژنتیکی بیشتر با در نظر گرفتن

Albers, G.A.A., Rattink, A. P. and Vereijken, A. L. J. (2007). The future of molecular genetics in poultry breeding. XII European Poultry Conference, Verona, Italy.

Colleau, J. J., Tual, K., de Preumont, H. and Regaldo, D. (2009). A mating method accounting for inbreeding and multi-trait selection in dairy cattle populations. *Genetics Selection Evolution*. 41:1. 7.

Daetwyler, H. D., Villanueva, B., Bijma P. and Woolliams, J. A. (2007). Inbreeding in genome-wide selection. *Journal Animal Breeding and Genetics*. 124:369-376.

Dekkers, J. C. M. and Hospital, F. (2002). Multifactorial genetics: the use of molecular genetics in the improvement of agricultural populations. *Nature Reviews Genetics*. 3: 22–32.

Fernando R. L, Grossman M: (1989). Marker assisted selection using best linear unbiased prediction. *Genetics Selection Evolution*. 21:467–477.

Goddard, M. (2009). Genomic selection: prediction of accuracy and maximisation of long term response, *Genetica*. 136:2: 245-257.

Habier D, Fernando RL, Dekkers JCM: (2007). The impact of genetic relationship information on genome-assisted breeding values. *Genetics*, 177:2389-2397.

Haldane, J. B. S. (1919). The combination of linkage values, and the calculation of distances between the loci of linked factors. *Journal of Genetics*. 8:299–309.

Hayes, B. and Goddard, M. E. (2001). The distribution of the effects of genes affecting quantitative traits in livestock. *Genetics Selection Evolution*. 33:3: 209-29.

آل های مطلوب مشکل و گاهای غیرممکن است، بنابراین به شرطی ماتریس وزنی ژنومی می تواند مفید واقع شود که QTL ها فراوانی آلل کمیاب پایین داشته باشند و میزان LD آنها با نشانگرهای که برای ارزیابی استفاده می شوند بالا باشد تا بتواند در کوتاه مدت از فیکس شدن برخی آلل های مفید جلوگیری نموده و در بهبود رشد ژنتیکی نیز موثر باشد. همچنین بالابودن تعداد حیوانات همخون و میانگین همخونی جمعیت همخون در سناریوهای دارای ماتریس وزنی ژنومی، ممکن است به دلیل وزن دهی بیشتر به آلل های کمیاب منجر به افزایش هموزیگوستی و به تع آن افزایش میانگین همخونی جمعیت مورد نظر باشد، لذا ارزیابی های حاصل از ماتریس وزنی ژنومی مانند سایر معیارهای ژنومی تعیین روابط خویشاوندی مناسب و قابل استفاده نمی باشد. در شرایط کشور ما و با توجه به وجود دامداری های نیمه صنعتی و عدم امکان تعیین ژنوتیپ استفاده از استراتژی حداقل همخونی با ماتریس خویشاوندی افزایشی (A) با توجه به رشد ژنتیکی و صحبت ارزیابی ها که بدون هزینه است مناسب ترین گزینه است. اما در شرایط تحقیقاتی که امکان تعیین ژنوتیپ موجود باشد استراتژی حداقل همخونی – ماتریس GRM با توجه به رشد ژنتیکی بهتر، صحبت ارزیابی بالاتر و کاهش میانگین همخونی و تعداد حیوانات همخون کمتر گزینه می باشد.

منابع

فرجی آروق، ه. اسلامی نژاد، ع، ا. طهمورث پور، م. رکوعی، م و شریعتی، م.م. (۱۳۹۳). ارزیابی روند همخونی جمعیت گاو های شیری با تغییر نوع آمیزش، شدت انتخاب و استفاده از انتقال جنین با استفاده از شبیه سازی تصادفی. نشریه پژوهش در نشخوار کنندگان. جلد دوم، شماره سوم. ص ص. ۱۲۱-۱۳۸.

Hayes, B. J., Visscher, P. M., McPartlan, H. C. and Goddard, M. E. (2003). Novel multilocus measure of linkage disequilibrium to estimate past effective population size. *Genome Research*. 13:635–643.

Hayes, B. (2007). QTL mapping, MAS, and genomic selection. Technical report, Department of Animal Science, Iowa State University.

Hayes, B. J., Bowman, P. J., Chamberlain, A. J. and Goddard, M. E. (2009). Invited review: Genomic selection in dairy cattle: Progress and challenges. *Journal of Dairy Science*. 92:433–443.

Jannink, J. L. (2010). Dynamics of long-term genomic selection. *Genetics Selection Evolution*. 42:35–45.

Kinghorn, B. P. (2011). An algorithm for efficient constrained mate selection. *Genetics Selection Evolution*. 43:4.

Kirin, M., McQuillan, R., Franklin, C. S., Campbell, H., McKeigue, P. M. and Wilson, J. F. (2010). Genomic runs of homozygosity record population history and consanguinity. *PLoS ONE* 5:e13996

Lien, S., Gidskehaug, L., Moen, T., Hayes, B. J., Berg, P. R., Davidson, W. S., et al. (2011). A dense SNP-based linkage map for Atlantic salmon (*Salmo salar*) reveals extended chromosome homeologies and striking differences in sex-specific recombination patterns. *BMC Genomics*. 12:615.

Lillehammer, M., Meuwissen, T. H. E. and Sonesson, A. K. (2011). A comparison of dairy cattle breeding designs that use genomic selection. *Journal of Dairy Science*. 94: 1: 493-500.

Liu, H., Meuwissen, T. H. E., Sorensen, A. C. and Berg, P. (2014). Upweighting rare favourable alleles increases long-term genetic gain in genomic selection programs. *Genetics Selection Evolution*. 47:19.

Liu, H., Henryon, M. and Sørensen, A. C. (2016). Mating strategies with genomic information reduce rates of inbreeding in animal breeding schemes without compromising genetic gain. *Animal*. 11:4: 547–555.

Luan, T., Woolliams, J.A., Odegard, J., Dolezal, M., Roman-Ponce, S. I., Bagnato, A. and Meuwissen, T. H. E. (2012). The importance of identity-by-state information for the accuracy of genomic selection. *Genetics Selection Evolution*, 44:28.

Luan, T., Yu, X., Dolezal, M., Bagnato, A. and Meuwissen, T.H.E. (2014). Genomic prediction based on runs of homozygosity. *Genetics Selection Evolution*. 46:64.

MacLeod, I. M., Meuwissen, T. H. E., Hayes, B. J. and Goddard, M. E. (2009). A novel predictor of multilocus haplotype homozygosity: Comparison with existing predictors. *Genetics Research*. 91:413–426.

Mastrangelo, S., Gerlando, R. D., Tolone, M., Tortorici, L. and Sardina, M. T. (2014). Genome wide linkage disequilibrium and genetic structure in Sicilian dairy sheep breeds. *Genetics*, 15:108.

Meuwissen, T. H. E. (1997). Maximizing the response of selection with a predetermined rate of inbreeding. *Journal Animal Science*. 75:934–940.

Meuwissen, T. and Goddard, M. E. (2010). Accurate prediction of genetic values for complex traits by whole-genome resequencing. *Genetics*. 185:623–631.

- Pryce, J. E., Goddard, M. E., Raadsma, H. W. and Hayes, B. J. (2010). Deterministic models of breeding scheme designs that incorporate genomic selection. *Journal of Dairy Science*. 93: 5455–5466.
- Purcel, S., Neale, B., Todd-Brown, K., Thomas, L., Ferreira, M. A. R., Bender, D., Maller, J., Sklar, P., de Bakker, P. I. W., Daly, M. J. and Sham, P. C. (2007). PLINK: A Tool Set for Whole-Genome Association and Population-Based Linkage Analyses. *The American Journal of Human Genetics*. 81:559-575.
- Sargolzaei, M. and Schenkel, F. S. (2009). QMSim:a large-scale genome simulator for livestock. *Genetic and population analysis*. 25:5:680-681.
- Schaeffer, L. R. 2006. Strategy for applying genome-wide selection in dairy cattle. *Journal of Animal Breeding Genetic*. 123:4: 218-223.
- Smith, L. A., Cassell, B. G. and Pearson, R. E. (1998). The effects of inbreeding on lifetime performance of dairy cattle. *Journal of Dairy Science*. 81:2729–2737.
- Sonesson, A. and Meuwissen, T. (2000). Mating schemes for optimum contribution selection with constrained rates of inbreeding, *Genetics Selection Evolution*. 32:3: 231-248.
- Sonesson, A. K. and Meuwissen, T. H. E. (2009). Testing strategies for genomic selection in aquaculture breeding programs. *Genetics Selection Evolution*. 41:37.
- Sonesson, A. K., Woolliams, J. A. and Meuwissen, T. H. E. (2010). Maximising genetic gain whilst controlling rates of genomic inbreeding using genomic optimum contribution selection. *Proceedings of the 9th WCGALP*, Leipzig, Germany, p: 150.
- VanRaden, P. M. (2008). Efficient methods to compute genomic predictions. *Journal Dairy Science*. 91:4414–4423.
- Vela-Avitúa, S., Meuwissen, T. H. E., Luan, T. and Ødegård, J. (2015). Accuracy of genomic selection for a sib-evaluated trait using identity-by-state and identity-by-descent Relationships. *Genetics Selection Evolution*. 47:9.
- Wray, N. R., and Goddard, M. E. (1994). Increasing long term response to selection. *Genetics Selection Evolution*. 26:431–451.